

بِسْمِ اللَّهِ الرَّحْمَنِ الرَّحِيمِ

١٤٢٨-٢٠٠٧



دانشکده پروری

دانشکده شیمی

گروه شیمی معدنی

پایان نامه جهت دریافت درجه کارشناسی ارشد در رشته شیمی معدنی

عنوان

سنتز و شناسایی کمپلکس های شیف بازها با دهنده های ONO و
 N_2O_5 بر پایه سالیسیل آلدھید و آزو فنیل سالیسیل آلدھید با برخی از
 فلزات واسطه

استاد راهنما

دکتر علی اکبر خاندار

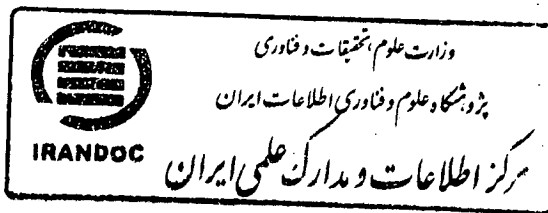
اساتید مشاور

دکتر سید ابوالفضل حسینی یزدی

پژوهشگر

فرشید شهبازی رز

دی ماه ۸۹



۱۵۹۸۴۱

۱۳۹۰/۰۷/۲۹

حمد و سپاس فراوان پرودگار یکتا را که هستی ام بخشد و مرا به طریق علم و
دانش رهنمون ساخت و به همنشینی رهروان دانش مفتخرم نمود و توانایی ام بخشد
تا در پناه الطاف بی کرانش مجموعه حاضر را گرد آوری نمایم. بی شک گذر از این
راه و فائق آمدن بر مشکلات و دشواریها ممکن نبود مگر به لطف و یاری او.

با تشکر و سپاس فراوان از:

استاد راهنمای بزرگوارم:

جناب آقای دکتر علی اکبر خاندار

که امر سرپرستی پایانمه را بر عهده داشته اند و در کنار درس پژوهش درس

زندگانی را از ایشان آموخته ام.

تقدیم به :

بزرگترین سرمايه های زندگی ام

پدر بزرگوارم و مادر مهربانم

با تشکر و قدردانی از:

- * استاد راهنمای ارجمند، جناب آقای دکتر علی اکبر خاندار.
- * استاد مشاور ارجمند، جناب آقای دکتر سید ابوالفضل حسینی یزدی که زحمت مشاوره و بازخوانی پایان نامه را پذیرفتند.
- * استاد محترم جناب آقای دکتر بهروز شعبانی که امر داوری این پایان نامه را تقبل نمودند.
- * مدیر گروه محترم جناب آقای دکتر سید ابوالفضل حسینی یزدی.
- * اساتید محترم گروه شیمی معدنی جناب آقای دکتر عبدالعلی عالمی و خانم دکتر معصومه خاتمیان که در مدت تحصیلم در این دانشکده از محضر علمی و اخلاقی ایشان بهره برده ام.
- * دوستان و همکاران ارجمند در آزمایشگاه پژوهشی شیمی معدنی، آقایان بختیاری، محمودی، افخمی اکبری و بکی و خانم ها عابدی، سموعی و تقوایی.
- * دوستان و همکاران ارجمند در سایر آزمایشگاههای شیمی معدنی.
- * تشکر ویژه از خانم دکتر عابدی که کمک های بی شابه ای داشته اند و آقای صفوی که همکاری سازند های داشتند.

نام خانوادگی دانشجو: شهبازی رز	نام: فرشید
<p>عنوان پایان نامه: ستز و شناسایی کمپلکس های شیف بازها با دهنده های ONO و N_2O_5 برپایه سالیسیل آلدید و آزوفنیل سالیسیل آلدید با برخی از فلزات واسطه</p>	
استاد مشاور: دکتر سید ابوالفضل حسینی یزدی	استاد راهنمای: دکتر علی‌اکبر خاندار
مقطع تحصیلی: کارشناسی ارشد رشته: شیمی گرایش: معدنی دانشگاه: تبریز	دانشکده: شیمی
تاریخ فارغ التحصیلی: دی ۱۳۸۹ تعداد صفحه: ۱۵۳	کلید واژه‌ها: شیف باز، سالیسیل آلدید، آزوفنیل سالیسیل آلدید، کمپلکس های مس (II)، کبالت (II)، نیکل (II)، ساختار بلوری با پراش اشعه X
<p>چکیده:</p> <p>در این کار پژوهشی لیگاندهای ۱-بیس[۵-(سالیسیل ایمینو) فنوکسی]-۲-پروپانول (H_3L^1) و ۱-بیس[۵-(سالیسیل ایمینو) ۴-فنیل دی آزو فنوکسی]-۲-پروپانول (H_3L^2) از تراکم مستقیم دی آمین ۱-بیس (۲-آمینو فنوکسی) پروپان-۲-اول (۲) با سالیسیل آلدید یا ۵-آزوفنیل سالیسیل آلدید ستز شدند. لیگاند ۱-بیس[۵-(سالیسیل آمینو) فنوکسی]-۲-پروپانول (H_5L^3) از احیاء لیگاند H_3L^1 ستز گردید. همچنین لیگاندهای ۲-هیدروکسی بنزیل-۲-فوریل متیل) ایمین (HL^4) و ((۲-هیدروکسی-۴-فنیل دی آزو) بنزیل-۲-فوریل متیل) ایمین (HL^5) از تراکم مستقیم فورفوریل آمین با سالیسیل آلدید یا ۵-آزوفنیل سالیسیل آلدید ستز گردیدند.</p> <p>واکنش نمک‌های استات‌مس، کبالت، نیکل و روی با لیگاندهای H_3L^1, H_3L^2, H_5L^3, H_3L^4 و H_5L^5 به تشکیل کمپلکس های $\text{Ni}(\text{HL}^1)(\text{H}_2\text{O})_2$, $\text{Co}(\text{HL}^2)$, $\text{Co}(\text{HL}^1)$, $\text{Cu}(\text{H}_3\text{L}^3)$, $\text{Cu}(\text{HL}^2)$, $\text{Cu}_2(\text{HL}^1)_2$ به شکل کمپلکس های</p>	

منجر گردید. لیگاند ها و کمپلکس های سنتز شده به $\text{Cu}(\text{L}^5)_2$ و $\text{Cu}(\text{L}^4)_2 \text{Zn}(\text{HL}^1) \text{Ni}(\text{HL}^2)$ ، توسط تکنیکهای IR، FT-IR، UV-vis، آنالیز عنصری، هدایت سنجی و ولتا متري چرخه ای مورد بررسی و شناسایی قرار گرفتند. نتایج حاصل از هدایت سنجی دلالت بر غیر الکتروولیت بودن کمپلکس ها دارد. نتایج آنالیز عنصری نشان می دهد که در کمپلکس های $\text{Co}(\text{HL}^1)$ ، $\text{Cu}(\text{H}_3\text{L}^3)$ ، $\text{Cu}(\text{HL}^2)$ ، $\text{Cu}_2(\text{HL}^1)_2$ و $\text{Cu}(\text{L}^5)_2$ نسبت فلز به لیگاند ۱:۱ می باشد. مطالعه ساختار تک بلور بوسیله پراش اشعه X کمپلکس های $\text{Cu}_2(\text{HL}^1)_2$ نشان می دهد که یون های مس (II) با عدد کثور دیناسیون ۴ و ساختار کثور دیناسیونی کمپلکس های $\text{Cu}_2(\text{HL}^1)_2$ مسطح مربع انحراف یافته و در کمپلکس $\text{Cu}(\text{L}^5)_2$ مسطح مربع انحراف یافته از زوایا را دارند. نسبت فلز به لیگاند در کمپلکس $\text{Cu}_2(\text{HL}^1)_2$ ۲:۲ ولی در کمپلکس های $\text{Cu}(\text{L}^4)_2$ و $\text{Cu}(\text{L}^5)_2$ ۱:۲ می باشد.

طیف های الکترونی کمپلکس ها در حلال های CH_2Cl_2 و DMF بر اساس حلالیت آنها ثبت گردید. کمپلکس های $\text{Co}(\text{HL}^1)$ ، $\text{Co}(\text{HL}^2)$ ، $\text{Cu}(\text{H}_3\text{L}^3)$ ، $\text{Cu}(\text{HL}^2)$ ، $\text{Cu}_2(\text{HL}^1)_2$ ، $\text{Co}(\text{HL}^1)(\text{H}_2\text{O})_2$ و $\text{Cu}(\text{L}^5)_2$ باند های جذبی را در نواحی ۵۰۰-۱۱۰۰ nm نشان می دهند که به انتقالات d-d فلزات واسطه مربوط است. مطالعات ولتا متري چرخه ای لیگاند ها در حلال DMF نشان داد که لیگاند ها از لحاظ الکتروشیمیایی فعال می باشند و از بین کمپلکس ها، تنها کمپلکس های $\text{Cu}^{\text{II}}/\text{Cu}^{\text{I}}$ دارند و بقیه کمپلکس ها هیچ زوج برگشت پذیری ندارند.

فهرست مطالب

صفحه	عنوان
	فصل اول: بررسی منابع
۱	مقدمه
۲	۱-۱- شیف بازها
۳	۱-۲- شیف بازها بر پایه سالیسیل آلدھید
۵	۱-۳- خواص کاتالیستی کمپلکس های شیف باز
۵	۱-۳-۱- طراحی کاتالیست های قابل حل در آب
۷	۱-۳-۲- واکنش های کاتالیستی پلیمریزاسیون
۹	۱-۳-۳- فعالیت های کاتالیستی اکسیداسیون و اپوکسیداسیون
۱۱	۱-۴- واکنش افزایش مایکل
۱۱	۱-۵- واکنش دیلز- آلدرو
۱۲	۱-۶- آمید دار کردن و آزید دار کردن هیدروکربن
۱۲	۱-۷- خواص بیولوژیکی کمپلکس های شیف باز
۱۵	۱-۸- تاثیر حلال و PH روی کمپلکس های شیف باز
۱۷	۱-۹- نانوفیبرها بر پایه شیف بازها
۱۹	۱-۱۰- هدف پژوهش
	فصل دوم: مواد و روش‌ها
۲۰	۲-۱- مواد به کار رفته
۲۰	۲-۲- دستگاهها و تجهیزات به کار رفته

فهرست مطالب

	عنوان	
	صفحه	
۲۲	روش تهیه مواد ۳-۲	
۲۲	۱-۳-۱- تهیه ۳،۱- بیس (۲- نیترو فنوکسی) پروپان-۲- اول (۱)..... ۲	
۲۲	۲-۳-۲- تهیه ۳،۱- بیس (۲- آمینو فنوکسی) پروپان-۲- اول (۲)..... ۲	
۲۳	۳-۳-۲- تهیه لیگاند ۳،۱- بیس [۵- (سالیسیل ایمینو) فنوکسیل]-۲- پروپانول (H_3L^1) ۲	
۲۳	۴-۳-۲- تهیه لیگاند ۳،۱- بیس [۵- (سالیسیل آمینو) فنوکسیل]-۲- پروپانول (H_5L^3)..... ۲	
۲۴	۵-۳-۲- تهیه ۵- آزوفنیل سالیسیل آلدهید..... ۲	
۲۵	۶-۳-۲- تهیه لیگاند ۱،۳- بیس [۵- (سالیسیل ایمینو) ۴-فنیل دی آزو فنوکسیل]-۲- پروپانول (H_3L^2) ۲	
۲۵	۷-۳-۲- تهیه کمپلکس های مس لیگاند های H_5L^3 , H_3L^2 , H_3L^1 ۲	
۲۶	۸-۳-۲- تهیه کمپلکس های نیکل لیگاند های H_3L^2 , H_3L^1 ۲	
۲۶	۹-۳-۲- تهیه کمپلکس های کبالت لیگاند های H_3L^2 , H_3L^1 ۲	
۲۷	۱۰-۳-۲- تهیه کمپلکس های روی لیگاند های H_3L^2 , H_3L^1 ۲	
۲۸	۱۱-۳-۲- تهیه کمپلکس های $Cu(L^5)_2$ و $Cu(L^4)_2$ ۲	

فصل سوم: نتایج و بحث

۲۹	۱-۳-۱- پیش لیگاندها، لیگاند ها و کمپلکس ها..... ۳
۲۹	۱-۱-۳- ترکیب ۳،۱- بیس (۲- نیترو فنوکسی) پروپان-۲- اول (۱)..... ۳
۲۹	۲-۱-۳- ترکیب ۳،۱- بیس (۲- آمینو فنوکسی) پروپان-۲- اول (۲)..... ۳
۳۳	۳-۱-۳- تهیه لیگاند ۳،۱- بیس [۵- (سالیسیل ایمینو) فنوکسیل]-۲- پروپانول (H_3L^1) ۳
۳۷	و لیگاند ۱،۳- بیس [۵- (سالیسیل آمینو) فنوکسیل]-۲- پروپانول (H_5L^3)..... ۳
۳۷	۴-۱-۳- تهیه ۵- آزوفنیل سالیسیل آلدهید..... ۳

صفحه	عنوان
	- تهیه لیگاند ۱، ۳-بیس [۵] - (سالیسیل ایمینو)۴-فنیل دی آزو فنوکسیل [۲]-۲ - پروپانول
۳۸	(H ₃ L ²)
	- کمپلکس های مس (II) با لیگاندهای H ₃ L ² , H ₃ L ¹ و H ₅ L ³ و کمپلکس روی (II)
۵۰	با لیگاند H ₃ L ¹
۶۲	- کمپلکس های نیکل (II) و کبالت (II) با لیگاندهای H ₃ L ² و H ₃ L ¹ و H ₅ L ³
۶۸	- کمپلکس های ₂ Cu(L ⁵) ₂ و ₂ Cu(L ⁴) ₂
۷۵	- بررسی طیف های الکترونی لیگاندها و کمپلکس ها
۹۲	- مطالعات ولتامتری چرخه ای
۹۲	- مطالعات ولتامتری چرخه ای لیگاندها
۹۶	- مطالعات ولتامتری چرخه ای کمپلکس ها
۱۰۹	- ساختار بلوری کمپلکس های ₂ Cu(L ⁴) ₂ , Cu ₂ (HL ¹) ₂ و Cu ₂ (HL ¹) ₂ با پراش اشعه X
۱۰۹	- ساختمان بلوری کمپلکس Cu ₂ (HL ¹) ₂
۱۲۱	- ساختمان بلوری کمپلکس ₂ Cu(L ⁴) ₂
۱۳۶	- ساختمان بلوری کمپلکس ₂ Cu(L ⁵) ₂
۱۴۸	نتیجه گیری
۱۴۹	پیشنهادات
۱۵۰	منابع مورد استفاده

فهرست اشکال

عنوان		صفحه
شماى ۱-۱- ساختار تعدادى از لیگاند های شيف باز.....	۳	
شماى ۲-۱ - نمونه اى از لیگاند های شيف باز بر پایه ساليسيل آلدھيد.....	۴	
شماى ۳-۱- نمونه اى از کمپلکس های شيف باز بر پایه ساليسيل آلدھيد ها.....	۵	
شماى ۴-۱- نمونه اى از کمپلکس شيف باز مس(II) قابل حل در آب بر پایه ساليسيل آلدھيد....	۶	
شماى ۵-۱- ستز کاتالیست الومینیوم بیس (ایمینو فسفرانو). متانید.....	۷	
شماى ۶-۱- ستز کمپلکس های آهن (II) و کبات (II).....	۸	
شماى ۷-۱- واکنش پلیمریزاسیون حلقه گشاپی (R و R' گروه الیفاتیکی می باشند).....	۸	
شماى ۸-۱- پلیمریزاسیون حلقه گشاپی اپوكسید ها	۹	
شماى ۹-۱- واکنش پلیمریزاسیون حلقه گشاپی لاکتید ها.....	۹	
شماى ۱۰-۱- انواع کمپلکس های شيف باز دو هسته اى برای واکنش های اکسیداسیون.....	۱۰	
شماى ۱۱-۱- ساختار کمپلکس های سوپرا مولکول ZnTPP و ZnOEP.....	۱۰	
شماى ۱۲-۱- واکنش افزایش مایکل آکرولین.....	۱۱	
شماى ۱۳-۱- واکنش دیلز-آلدر با استفاده از سالن- AgCl کایرال.....	۱۱	
شماى ۱۴-۱- آزیریدین دار کردن ۱- سیکلو هگزنیل اوکسی تری متیل سیلان با کمپلکس های سالن روتنیوم (II)	۱۲	
شماى ۱۵-۱- شيف باز N,N'- (او- فنیل دی متیلیدین) بیس - او- بنزن دی آمین.....	۱۳	
شماى ۱۶-۱- واکنش [CuSalPAHP] ₂ و ۲-متیل امیدازول برای تشکیل [CuSalPAHP-2-MeI].....	۱۳	
شماى ۱۷-۱- گروه پروستیک (پروتوپروپیرن IX) آهن (II) و سایت های فعال هموگلوبین	۱۴	
شماى ۱۸-۱- کمپلکس های کبات (II) سالن و مشتق فلورو کبات (II) سالن.....	۱۵	
شماى ۱۹-۱- تاثیر حلال بروی کمپلکس های شيف باز.....	۱۶	

صفحه	عنوان
۱۷	شمای ۱-۲۰- تاثیر PH بروی لیگاندهای شیف باز در هنگام کمپلکسه شدن.....
۱۸	شمای ۱-۲۱- (الف) شماتیک مکانیسم پلیمریزاسیون ب) سالوفن N_2O_2 که با روی متراکم شده و نانو فیبرو نانو مکعب بوجود آمده اند.....
۱۹	شمای ۱-۲۲- لیگاند های H_5L^3 , H_3L^2 , H_3L^1 , HL^4 و HL^5
۲۹	شمای ۳-۱- روش تهیه ترکیب (۱).....
۲۹	شمای ۳-۲- روش تهیه ترکیب (۲).....
۳۳	شمای ۳-۳- روش تهیه لیگاندهای H_3L^1 و H_5L^3
۳۷	شمای ۳-۴- روش تهیه ۵- آزوفنیل سالیسیل آلدهید.....
۳۸	شمای ۳-۵- روش تهیه لیگاند H_3L^2
۴۶	شمای ۳-۶- ساختار لیگاندهای H_5L^3 , H_3L^2 و H_3L^1 و علامت گذاری برخی از اتم های آن.....
۸۷	شمای ۳-۷- ساختار پیشنهادی کمپلکس های مس (II). $(HL^1)_2$, $Cu_2(HL^1)_2$, $Cu(HL^2)_2$, $Cu(L^5)_2$ و $Cu(L^4)_2$, $Cu(H_3L^3)$
۹۰	شمای ۳-۸- ساختار پیشنهادی کمپلکس های کبالت (I). $(HL^1)_2$, $Co(HL^1)_2$, $Co(HL^2)_2$
۹۱	شمای ۳-۹- ساختار پیشنهادی کمپلکس های نیکل (I). $(HL^1)_2$, $Ni(HL^1)_2$, $Ni(HL^2)_2$
۳۰	شكل ۳-۱- طیف FT-IR ترکیب (۱) در حالت جامد.....
۳۱	شكل ۳-۲- طیف FT-IR ترکیب (۲) در حالت جامد.....
۳۴	شكل ۳-۳- طیف FT-IR لیگاند H_3L^1 در حالت جامد.....
۳۵	شكل ۳-۴- طیف FT-IR لیگاند H_5L^3 در حالت جامد.....
۳۹	شكل ۳-۵- طیف FT-IR ۵- آزوفنیل سالیسیل آلدهید در حالت جامد.....
۴۰	شكل ۳-۶- طیف FT-IR لیگاند H_3L^2 در حالت جامد.....
۴۳	شكل ۳-۷- طیف 1H -NMR لیگاند H_3L^1 در حلal $CDCl_3$
۴۴	شكل ۳-۸- طیف 1H -NMR لیگاند H_3L^2 در حلal $CDCl_3$
۴۵	شكل ۳-۹- طیف 1H -NMR لیگاند H_5L^3 در حلal $CDCl_3$

صفحه	عنوان
۴۹	شكل ۱۰-۳- طیف ^1H NMR گسترده ناحیه آلیفاتیکی لیگاند H_3L^1 در حلال CDCl_3
۵۰	شكل ۱۱-۳- طیف ^1H NMR گسترده ناحیه آروماتیکی لیگاند H_3L^1 در حلال CDCl_3
۵۱	شكل ۱۲-۳- طیف ^1H NMR گسترده ناحیه آلیفاتیکی لیگاند H_3L^2 در حلال CDCl_3
۵۲	شكل ۱۳-۳- طیف ^1H NMR گسترده ناحیه آروماتیکی لیگاند H_3L^2 در حلال CDCl_3
۵۳	شكل ۱۴-۳- طیف ^1H NMR گسترده ناحیه آروماتیکی لیگاند H_5L^3 در حلال CDCl_3
۵۴	شكل ۱۵-۳- طیف ^1H NMR گسترده ناحیه آلیفاتیکی لیگاند H_5L^3 در حلال CDCl_3
۵۶	شكل ۱۶-۳- طیف FT-IR کمپلکس $\text{Cu}_2(\text{HL})_2$ در حالت جامد
۵۷	شكل ۱۷-۳- طیف FT-IR کمپلکس $\text{Cu}(\text{HL})^2$ در حالت جامد
۵۸	شكل ۱۸-۳- طیف FT-IR کمپلکس $\text{Cu}(\text{H}_3\text{L}^3)$ در حالت جامد
۵۹	شكل ۱۹-۳- طیف FT-IR کمپلکس $\text{Zn}(\text{HL})^1$ در حالت جامد
۶۳	شكل ۲۰-۳- طیف FT-IR کمپلکس $\text{Ni}(\text{HL})^1 \cdot (\text{H}_2\text{O})_2$ در حالت جامد
۶۴	شكل ۲۱-۳- طیف FT-IR کمپلکس $\text{Ni}(\text{HL})^2$ در حالت جامد
۶۵	شكل ۲۲-۳- طیف FT-IR کمپلکس $\text{Co}(\text{HL})^1$ در حالت جامد
۶۶	شكل ۲۳-۳- طیف FT-IR کمپلکس $\text{Co}(\text{HL})^2$ در حالت جامد
۶۹	شكل ۲۴-۳- طیف FT-IR کمپلکس $\text{Cu}(\text{L}^4)_2$ در حالت جامد
۷۰	شكل ۲۵-۳- طیف FT-IR کمپلکس $\text{Cu}(\text{L}^5)_2$ در حالت جامد
۷۵	شكل ۲۶-۳- طیف UV-Vis لیگاند H_3L^1 در حلال CH_2Cl_2 و DMF و غلظت 10^{-5} مولار
۷۵	شكل ۲۷-۳- طیف UV-Vis لیگاند H_3L^2 در حلال CH_2Cl_2 و DMF و غلظت 10^{-5} مولار
۷۶	شكل ۲۸-۳- طیف UV-Vis لیگاند H_3L^3 در حلال CH_2Cl_2 و DMF و غلظت 10^{-5} مولار
۷۸	شكل ۲۹-۳- طیف های UV-Vis کمپلکس های $\text{Co}(\text{HL})^1 \cdot \text{Cu}_2(\text{HL})^1_2$ و لیگاند H_3L^1 در حلال CH_2Cl_2 و غلظت 10^{-5} مولار
۷۹	شكل ۳۰-۳- طیف های UV-Vis کمپلکس های $\text{Zn}(\text{HL})^1$, $\text{Ni}(\text{HL})^1 \cdot (\text{H}_2\text{O})_2$ و لیگاند H_3L^1 در حلال CH_2Cl_2 و غلظت 10^{-5} مولار

صفحه	عنوان
..... ۸۰ شکل ۳۱-۳- طیف های UV-Vis کمپلکس های $\text{Co}(\text{HL}^2)$ و $\text{Cu}(\text{HL}^2)$ در H_3L^2 در حلال DMF و غلظت 10^{-5} مولار
..... ۸۱ شکل ۳۲-۳- طیف های UV-Vis کمپلکس $\text{Ni}(\text{HL}^2)$ و لیگاند H_3L^2 در حلال DMF و غلظت 10^{-5} مولار
..... ۸۲ شکل ۳۳-۳- طیف های UV-Vis کمپلکس $\text{Cu}(\text{H}_3\text{L}^3)$ و لیگاند H_5L^3 در حلال DMF و غلظت 10^{-5} مولار
..... ۸۲ شکل ۳۴-۳- طیف UV-Vis کمپلکس های $\text{Cu}(\text{L}^4)_2$ و $\text{Cu}(\text{L}^4)_2$ در CH_2Cl_2 و غلظت 10^{-5} مولار
..... ۸۳ شکل ۳۵-۳- طیف UV-Vis کمپلکس $\text{Cu}_2(\text{HL}^1)_2$ در حلال CH_2Cl_2 و DMF در غلظت 10^{-5} مولار
..... ۸۴ شکل ۳۶-۳- طیف UV-Vis کمپلکس $\text{Cu}(\text{HL}^2)$ در حلال CH_2Cl_2 و DMF در غلظت 10^{-5} مولار
..... ۸۴ شکل ۳۷-۳- طیف UV-Vis کمپلکس $\text{Cu}(\text{HL}^3)$ در حلال DMF در غلظت 10^{-5} مولار
..... ۸۵ شکل ۳۸-۳- طیف UV-Vis کمپلکس های $\text{Cu}(\text{L}^4)_2$ و $\text{Cu}(\text{L}^5)_2$ در حلال DMF در غلظت 10^{-5} مولار
..... ۸۷ شکل ۳۹-۳- طیف UV-Vis کمپلکس $\text{Co}(\text{HL}^1)$ در حلال DMF در غلظت 10^{-5} و 10^{-3} مولار
..... ۸۷ شکل ۴۰-۳- طیف UV-Vis کمپلکس $\text{Co}(\text{HL}^2)$ در حلال DMF در غلظت 10^{-5} و 10^{-3} مولار
..... ۸۹ شکل ۴۱-۳- طیف UV-Vis کمپلکس $\text{Ni}(\text{HL}^1)(\text{H}_2\text{O})_2$ در حلال DMF در غلظت 10^{-5} مولار
..... ۸۹ شکل ۴۲-۳- طیف UV-Vis کمپلکس $\text{Ni}(\text{HL}^2)$ در حلال DMF در غلظت 10^{-5} مولار
..... ۹۲ شکل ۴۳-۳- ولتاوگرام چرخهای محلول زمینه لیتیم پرکلرات (1M و 0.1M) و سرعت رویش 0.2Vs^{-1}
..... ۹۳ شکل ۴۴-۳- ولتاوگرام چرخهای لیگاند H_3L^1 (10^{-5}M) و سرعتهای رویش مختلف
..... ۹۳ شکل ۴۵-۳- ولتاوگرام چرخهای لیگاند H_3L^2 (10^{-5}M) و سرعتهای رویش مختلف
..... ۹۴ شکل ۴۶-۳- ولتاوگرام چرخهای لیگاند H_3L^2 (10^{-5}M) در محدوده پتانسیل -2V الی $-1/4\text{V}$
..... ۹۴ شکل ۴۷-۳- ولتاوگرام چرخهای لیگاند H_5L^3 (10^{-5}M) در محدوده $1/5\text{V}$ الی 2V
..... ۹۵ شکل ۴۸-۳- ولتاوگرام چرخهای لیگاند H_5L^3 (10^{-5}M) در محدوده $1/5\text{V}$ الی 0V

عنوان	صفحه
شکل ۴۹-۳ - ولتاموگرام چرخه‌ای محلول فروسن (M^{3+}) و سرعت روش 0.1 vs^{-1}	۹۶
شکل ۵۰-۳ - ولتاموگرام چرخه‌ای کمپلکس $\text{Cu}_2(\text{HL})_2$ محدوده $v 1/75$ الی $v 1/5$	۹۷
شکل ۵۱-۳ - ولتاموگرام چرخه‌ای کمپلکس $\text{Cu}_2(\text{HL})_2$ محدوده $v 0.8$ الی $v 0.5$ در سرعت های روش مختلف	۹۷
شکل ۵۲-۳ - ولتاموگرام چرخه‌ای کمپلکس $\text{Cu}_2(\text{HL})_2$ در سرعت های روش مختلف	۹۸
شکل ۵۳-۳ - ولتاموگرام چرخه‌ای کمپلکس $\text{Co}(\text{HL})_2$ محدوده $v 1/75$ الی $v 1/25$	۹۹
شکل ۵۴-۳ - ولتاموگرام چرخه‌ای کمپلکس $\text{Co}(\text{HL})_2$ در سرعت های روش مختلف	۹۹
شکل ۵۵-۳ - ولتاموگرام چرخه‌ای کمپلکس $\text{Ni}(\text{HL})(\text{H}_2\text{O})_2$ در محدوده پتانسیل $v 1$ الی $v -1$	۱۰۱
شکل ۵۶-۳ - ولتاموگرام چرخه‌ای کمپلکس $\text{Zn}(\text{HL})_2$ در محدوده پتانسیل $v 1.5$ الی $v -2$	۱۰۱
شکل ۵۷-۳ - ولتاموگرام چرخه‌ای کمپلکس $\text{Cu}(\text{HL})^2$ در محدوده پتانسیل $v 1.5$ الی $v -2$	۱۰۲
شکل ۵۸-۳ - ولتاموگرام چرخه‌ای کمپلکس $\text{Cu}(\text{HL})^2$ در محدوده پتانسیل $v 1.5$ الی $v -2$	۱۰۳
شکل ۵۹-۳ - ولتاموگرام چرخه‌ای کمپلکس $\text{Co}(\text{HL})^2$ در محدوده پتانسیل $v 1$ الی $v -2$	۱۰۴
شکل ۶۰-۳ - ولتاموگرام چرخه‌ای کمپلکس $\text{Co}(\text{HL})^2$ در محدوده پتانسیل $v 0$ الی $v -2$	۱۰۵
شکل ۶۱-۳ - ولتاموگرام چرخه‌ای کمپلکس $\text{Co}(\text{HL})^2$ در محدوده پتانسیل $v -0.2$ الی $v -1/2$	۱۰۵
شکل ۶۲-۳ - ولتاموگرام چرخه‌ای کمپلکس $\text{Ni}(\text{HL})^2$ در محدوده پتانسیل $v 1/5$ الی $v -2$	۱۰۶
شکل ۶۳-۳ - ولتاموگرام چرخه‌ای کمپلکس $\text{Ni}(\text{HL})^2$ در محدوده پتانسیل $v 1/5$ الی $v -0.5$	۱۰۶
شکل ۶۴-۳ - ولتاموگرام چرخه‌ای کمپلکس $\text{Cu}(\text{H}_3\text{L})^3$ در محدوده پتانسیل $v 1/5$ الی $v -0.5$	۱۰۷
شکل ۶۵-۳ - ولتاموگرام چرخه‌ای کمپلکس $\text{Cu}(\text{H}_3\text{L})^3$ در سرعت روش 0.05 vs^{-1}	۱۰۷
شکل ۶۶-۳ - ساختار مولکولی کمپلکس $\text{Cu}_2(\text{HL})_2$	۱۱۷
شکل ۶۷-۳ - دیاگرام تراکمی کمپلکس $\text{Cu}_2(\text{HL})_2$	۱۱۸
شکل ۶۸-۳ - پیوند های هیدروژنی و برهمنکش های واندروالس غیر کوالانسی کمپلکس $\text{Cu}_2(\text{HL})_2$	۱۱۸
شکل ۶۹-۳ - فاصله بین دو صفحه (C(8) و C(13) تا C(21) و C(26)) در کمپلکس $\text{Cu}_2(\text{HL})_2$	۱۲۰

صفحه	عنوان
۱۳۲	شکل ۷۰-۳- شکل و دیاگرام تراکمی کمپلکس $Cu(L^4)_2$
۱۳۳	شکل ۷۱-۳- پیوند های هیدروژنی و برهم کنش های واندروالس غیر کوالانسی کمپلکس $Cu(L^4)_2$
۱۳۵	شکل ۷۲-۳- صفحات $(O(5),N(3),O(6),N(4))$ و $(O(1),N(1),O(3),N(2))$ و نحوه قرار گیری اتم های کمپلکس $Cu(L^4)_2$ نسبت به این صفحات
۱۳۵	شکل ۷۳-۳- فاصله بین دو صفحه $C(2)$ تا $C(7)$ و $C(26)$ تا $C(31)$ و نیز دو صفحه $C(9)$ تا $C(14)$ و $C(38)$ تا $C(33)$
۱۴۴	شکل ۷۴-۳- ساختار مولکولی کمپلکس $Cu(L^5)_2$
۱۴۵	شکل ۷۵-۳- دیاگرام تراکمی کمپلکس $Cu(L^5)_2$
۱۴۷	شکل ۷۶-۳- صفحات $(O(3),N(4),O(3),N(4))$ و $(O(1),N(1),O(1),N(1))$ و نحوه قرار گیری اتم های کمپلکس $Cu(L^5)_2$ نسبت به این صفحات

فهرست جداول

فهرست جداول

صفحه	عنوان
۲۰	جدول ۲-۱- مواد به کار رفته
۲۳	جدول ۳-۱- اعداد موجی (cm^{-1}) برخی شیوه‌های ارتعاشی ترکیبات (۱) و (۲) (حروف a، b، c، e و f)
۲۶	در طیف های FT-IR ترکیبات (۱) و (۲) تعریف شده اند.
۴۱	جدول ۳-۲- اعداد موجی (cm^{-1}) برخی شیوه‌های ارتعاشی لیگاندهای H_3L^1 و H_5L^3 (حروف a تا h)
۴۲	در طیف های FT-IR لیگاندهای H_3L^1 و H_5L^3 تعریف شده اند.
۴۷	جدول ۳-۳- اعداد موجی (cm^{-1}) برخی شیوه‌های ارتعاشی ۵- آزوفنیل سالیسیل آلدهید و لیگاند H_3L^2 (حروف a تا i در طیف های FT-IR ۵- آزوفنیل سالیسیل آلدهید و لیگاند H_3L^2 تعریف شده اند).
۶۰	جدول ۳-۴- برخی مشخصات فیزیکی ترکیب (۱)، (۲) و ۵- آزوفنیل سالیسیل آلدهید.
۶۷	جدول ۳-۵- برخی مشخصات فیزیکی لیگاندهای H_3L^1 ، H_3L^2 و H_5L^3
۷۰	جدول ۳-۶- جابجایی شیمیایی δ پروتون‌های آروماتیک در ساختمان لیگاندهای H_3L^1 ، H_3L^2 و H_5L^3 نسبت به TMS در حلal CDCl_3
۷۰	جدول ۳-۷- اعداد موجی (cm^{-1}) برخی شیوه های ارتعاشی کمپلکس های $\text{Cu}(\text{HL}^2)$ ، $\text{Cu}_2(\text{HL}^1)_2$ ، $\text{Zn}(\text{HL}^1)$ و $\text{Cu}(\text{H}_3\text{L}^3)$ در طیف a تا h
۷۰	جدول ۳-۸- اعداد موجی (cm^{-1}) برخی شیوه های ارتعاشی کمپلکس های $\text{Cu}(\text{HL}^1)_2$ ، $\text{Zn}(\text{HL}^1)$ و $\text{Cu}(\text{H}_3\text{L}^3)$ تعریف شده اند.

عنوان	صفحه
جدول ۳-۸- اعداد موجی (cm^{-1}) برخی شیوه های ارتعاشی کمپلکس های $\text{Ni}(\text{HL}^1)\cdot(\text{H}_2\text{O})_2$	
جدول ۳-۹- اعداد موجی (cm^{-1}) برخی شیوه های ارتعاشی کمپلکس های $\text{Co}(\text{HL}^2)$ و $\text{Co}(\text{HL}^1)$ و $\text{Ni}(\text{HL}^2)$	
۷۷ $\text{Co}(\text{HL}^2)$ و $\text{Co}(\text{HL}^1)$ تعریف شده اند.	$\text{Ni}(\text{HL}^2)$, $\text{Ni}(\text{HL}^1)\cdot(\text{H}_2\text{O})_2$
جدول ۳-۱۰- اعداد موجی (cm^{-1}) برخی شیوه های ارتعاشی کمپلکس های $\text{Cu}(\text{L}^5)_2$ و $\text{Cu}(\text{L}^4)_2$	
جدول ۳-۱۱- نتایج هدایت سنجی لیگاندهای H_3L^1 , H_3L^2 و H_5L^3 و کمپلکس های مس (II)، نیکل (II)، کبالت (II) و روی (II)	
جدول ۳-۱۲- نتایج آنالیز عنصری (%) کمپلکس های $\text{Zn}(\text{HL}^1)$, $\text{Cu}(\text{H}_3\text{L}^3)$, $\text{Ni}(\text{HL}^2)$, $\text{Ni}(\text{HL}^1)\cdot(\text{H}_2\text{O})_2$	
جدول ۳-۱۳- طول موج های (nm) ناشی از بررسی طیف های UV-Vis لیگاندها در حلال CH_2Cl_2	
جدول ۳-۱۴- طول موج های (nm) ناشی از بررسی طیف های UV-Vis لیگاندها در حلال DMF	
جدول ۳-۱۵- میزان جابجائی پیک مربوط به انتقال $\pi \rightarrow \pi^*$ گروه ایمینی کمپلکس های $\text{Cu}_2(\text{HL}^1)_2$	
جدول ۳-۱۶- انتقالات $d \rightarrow d$ و λ_{max} کمپلکس های $\text{Ni}(\text{HL}^2)$, $\text{Co}(\text{HL}^1)$, $\text{Cu}(\text{H}_3\text{L}^3)$, $\text{Cu}(\text{HL}^2)$, $\text{Cu}_2(\text{HL}^1)_2$	
۹۱ H_5L^3 , $\text{Zn}(\text{HL}^1)$, $\text{Co}(\text{HL}^2)$, $\text{Co}(\text{HL}^1)$, $\text{Ni}(\text{HL}^2)$, $\text{Ni}(\text{HL}^1)\cdot(\text{H}_2\text{O})_2$, $\text{Cu}(\text{L}^5)_2$, $\text{Cu}(\text{L}^4)_2$	

عنوان	صفحه
جدول ۳-۱۷-۳- نتایج حاصل از مطالعات ولتاویری چرخه‌ای کمپلکس $\text{Cu}_2(\text{HL}^1)_2$ (۱۰ ^{-۳} M)	۹۸
سرعت های روبش مختلف.....
جدول ۳-۱۸-۳- نتایج حاصل از مطالعات ولتاویری چرخه‌ای کمپلکس $\text{Co}(\text{HL}^1)$ (۱۰ ^{-۳} M) و سرعت	۱۰۰
های روبش مختلف.....
جدول ۳-۱۹-۳- نتایج حاصل از مطالعات ولتاویری چرخه‌ای کمپلکس $\text{Cu}(\text{HL}^2)$ (۱۰ ^{-۳} M) و سرعت	۱۰۴
های روبش مختلف.....
جدول ۳-۲۰-۳- نتایج حاصل از مطالعات ولتاویری چرخه‌ای کمپلکس $\text{Cu}(\text{H}_3\text{L}^3)$ (۱۰ ^{-۳} M) و سرعت	۱۰۸
های روبش مختلف.....
جدول ۳-۲۱-۳- داده های کریستالوگرافی کمپلکس $\text{Cu}_2(\text{HL}^1)_2$	۱۱۰
جدول ۳-۲۲-۳- طول پیوند (بر حسب A°) در کمپلکس $\text{Cu}_2(\text{HL}^1)_2$	۱۱۱
جدول ۳-۲۳-۳- زوایای پیوند ها (بر حسب درجه) در کمپلکس $\text{Cu}_2(\text{HL}^1)_2$	۱۱۲
جدول ۳-۲۴-۳- مختصات و پارامتر ارتعاشات ایزوتوب اتم ها در کمپلکس $\text{Cu}_2(\text{HL}^1)_2$	۱۱۴
جدول ۳-۲۵-۳- مختصات و پارامتر ارتعاشات ایزوتوب اتم ها هیدروژن در کمپلکس $\text{Cu}_2(\text{HL}^1)_2$	۱۱۵
جدول ۳-۲۶-۳- پارامتر ارتعاشات آنیزوترب اتم ها در کمپلکس $\text{Cu}_2(\text{HL}^1)_2$	۱۱۷
جدول ۳-۲۷-۳- پارامتر های برهم کنش های غیر کوالانسی در کمپلکس $\text{Cu}_2(\text{HL}^1)_2$	۱۱۹
جدول ۳-۲۸-۳- داده های کریستالوگرافی کمپلکس $\text{Cu}(\text{L}^4)_2$	۱۲۲
جدول ۳-۲۹-۳- طول پیوند (بر حسب A°) در کمپلکس $\text{Cu}(\text{L}^4)_2$	۱۲۳
جدول ۳-۳۰-۳- زوایای پیوند ها (بر حسب درجه) در کمپلکس $\text{Cu}(\text{L}^4)_2$	۱۲۵

عنوان	صفحه
جدول ۳۱-۳- مختصات و پارامتر ارتعاشات ایزوتوب اتم ها در کمپلکس $Cu(L^4)_2$	۱۲۸
جدول ۳۲-۳- مختصات و پارامتر ارتعاشات ایزوتوب اتم ها هیدروژن در کمپلکس $Cu(L^4)_2$	۱۲۹
جدول ۳۳-۳- پارامتر ارتعاشات آنیزوتربو اتم ها در کمپلکس $Cu(L^4)_2$	۱۳۱
جدول ۳۴-۳- پارامتر های برهم کنش های غیر کوالانسی در کمپلکس $Cu(L^4)_2$	۱۳۳
جدول ۳۵-۳- داده های کریستالوگرافی کمپلکس $Cu(L^5)_2$	۱۳۷
جدول ۳۶-۳- طول پیوند (بر حسب A°) در کمپلکس $Cu(L^5)_2$	۱۴۰
جدول ۳۷-۳- زوایای پیوند ها (بر حسب درجه) در کمپلکس $Cu(L^5)_2$	۱۴۱
جدول ۳۸-۳- مختصات و پارامتر ارتعاشات ایزوتوب اتم ها در کمپلکس $Cu(L^5)_2$	۱۴۱
جدول ۳۹-۳- مختصات و پارامتر ارتعاشات ایزوتوب اتم ها هیدروژن در کمپلکس $Cu(L^5)_2$	۱۴۲
جدول ۴۰-۳- پارامتر ارتعاشات آنیزوتربو اتم ها در کمپلکس $Cu(L^5)_2$	۱۴۳